

TEOREMA DELLA CODIFICA DI SORGENTE PER CODICI BLOCCO-BLOCCO (B-B)

Sia $\delta' > 0$. Sorgente (s.s.m.) \mathcal{S}

Parte diretta: Se fissiamo il tasso $R \geq H_D(\mathcal{S}) + \delta'$, allora esiste una famiglia di codici $\overset{(B-B)}{\sim}$ per \mathcal{S}^n , $C^1, C^2, \dots, C^n, \dots$, con una probabilità $P_{err}^{(n)}$ tale che $\lim_{n \rightarrow \infty} P_{err}^{(n)} = 0$

Parte inversa: Se $R \leq H_D(\mathcal{S}) - 2\delta'$, allora per qualsiasi famiglia di codici B-B per \mathcal{S}^n , la prob. $P_{err}^{(n)}$ è tale che $\lim_{n \rightarrow \infty} P_{err}^{(n)} = 1$.

Cosa succede per n finito?

Codici di SORGENTE (Cap. 5)

Codici B-LV.
(simbolici)
(n=1)

$$A = \{a_1, \dots, a_K\} \quad B = \{b_1, \dots, b_D\}$$

$$P = (p_1, \dots, p_K) \quad W = \{w_1, \dots, w_K\}$$

$$\mathcal{L} = \{l_1, \dots, l_K\}$$

Lunghezze delle w_i

Codice \mathcal{C} → il tasso $R(\mathcal{C}) = \frac{\mathbb{E}[L]}{1} = \mathbb{E}[L]$.

Esempio : Codifica di Shannon-Fano : associa ad ogni a_i una parola di codice di lunghezza $l_i = \lceil -\log_D p_i \rceil$.

Esempio . . . $A = \{a, b, c, d, e, f\}$

$P = (4/16, 4/16, 3/16, 2/16, 2/16, 1/16)$

$\varphi: M \xrightarrow{\text{III}} B^+$

$D = 2 \quad (B = \{0, 1\})$

$l_a = \lceil -\log 4/16 \rceil = \lceil \log 4 \rceil = 2$

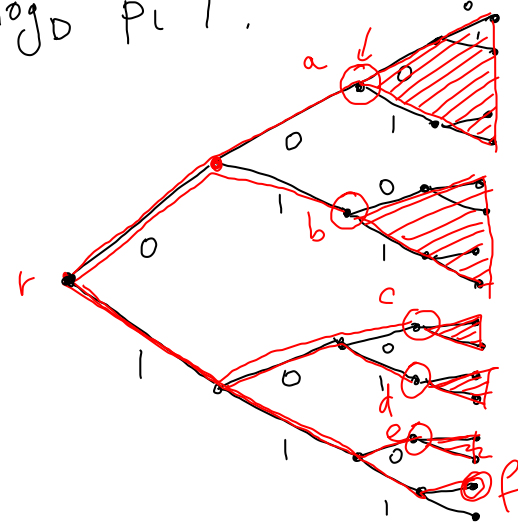
$l_b = 2$

$l_c = 3$

$l_d = 3$

$l_e = 3$

$l_f = 4$



| | |
|---|------|
| a | 00 |
| b | 01 |
| c | 100 |
| d | 101 |
| e | 110 |
| f | 1110 |

$$\begin{aligned} \mathbb{E}[L] &= \frac{4}{16} \cdot 2 + \frac{4}{16} \cdot 2 + \frac{3}{16} \cdot 3 + \frac{2}{16} \cdot 3 + \frac{1}{16} \cdot 4 \\ &= \frac{41}{16}. \end{aligned}$$

In questo esempio, la codifica di Shannon-Fano non è ottima.

(Codice C^* è ottimo in una classe di codici

se $R(C^*) \leq R(C)$ per ogni codice C nella classe).

Se modifico la codifica di f : $\varphi(f) = 111$, ottengo $\mathbb{E}[L] = \frac{40}{16} < \frac{41}{16}$

=

Codifica di Fano. Partizioniamo A in due sottoinsiemi A_0 e A_1 : $A_0 \cup A_1 = A$

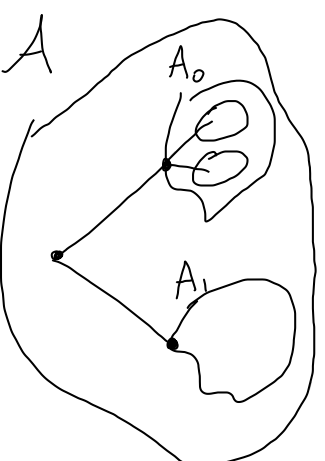
in modo tale da minimizzare $|\sum_{i \in A_0} p_i - \sum_{i \in A_1} p_i|$

$$A_0 \cap A_1 = \emptyset$$

Continuo: partiziono $A_0 = A_{00} \cup A_{01}$ sempre con lo stesso criterio

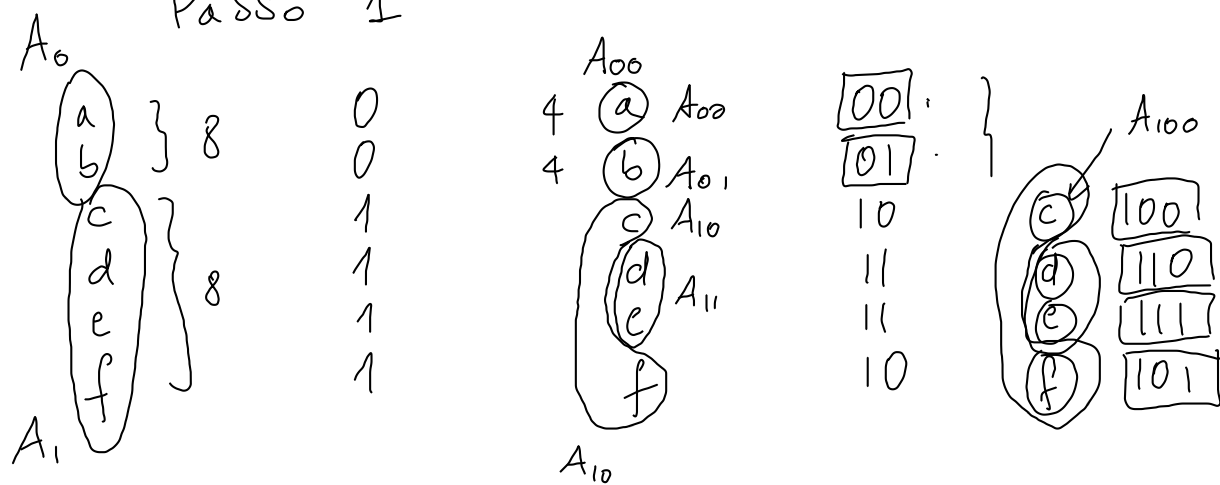
$$A_1 = A_{10} \cup A_{11}$$

finché tutti gli insiemi non contengono un singolo elemento.



Esempio - Stessa sorgente di prima ; sei simboli , $p = \left(\frac{4, 4, 3, 2, 2, 1}{16} \right)$

Passo 1



$$\mathbb{E}[L] = 2 \cdot \frac{8}{16} + 3 \cdot \frac{8}{16} = \frac{40}{16}$$

In questo caso , la codifica ha una lunghezza attesa inferiore di Fano.

Pero` , in generale , la codifica di Fano non e` ottima .

Lemma (S.1). Sia (senza perdita di generalità) $p_1 \geq p_2 \geq \dots \geq p_k$ (altrimenti riordino)

Allora esiste un codice ottimo C^* ^(nella classe dei codici u.d.) ra prefisso tale che :

- (1) Se $p_j > p_k$ si ha $l_j \leq l_k$ (e dunque $l_1 \leq l_2 \leq \dots \leq l_k$)
- (2) Se $l_k = |w_k|$ è la lunghezza massima, esiste un'altra parola di codice w_j di lunghezza l_k , e che differisce da w_k solo per l'ultimo simbolo

Dim. Consideriamo un qualunque codice C^* ottimo.

Costruiamo un altro codice C' scambiando w_j con w_k .

Allora

$$\begin{aligned}
 \underbrace{\mathbb{E}[L']}_{\substack{\text{per ipotesi,} \\ C^* \text{ è ottimo}}} &\leq \mathbb{E}[L^*] - \mathbb{E}[L^*] = \sum_i p_i l'_i - \sum_i p_i l_i = \\
 &= p_j l_k + p_k l_j - (p_j l_j + p_k l_k) \\
 &= p_j (l_k - l_j) - p_k (l_k - l_j) = \\
 &= (\underbrace{p_j - p_k}_{>0} \text{ per ipotesi}) (\underbrace{l_k - l_j}_{\substack{\text{Deve essere} \geq 0}} \text{ Deve essere} \geq 0) \Rightarrow l_k > l_j
 \end{aligned}$$

| | C^* | C' |
|----------|----------|----------|
| a_1 | w_1 | w_1 |
| a_2 | w_2 | w_2 |
| \vdots | \vdots | \vdots |
| a_j | w_j | w_j |
| a_k | w_k | w_j |

01001 } qualche
01000

Essendo C^* u.d., esso soddisfa la disugualanza di McMillan-Kraft.

Quindi esiste un codice a prefisso con le stesse lunghezze di C^* .

Se non esistesse w_j con $|w_j| = |w_k|$,

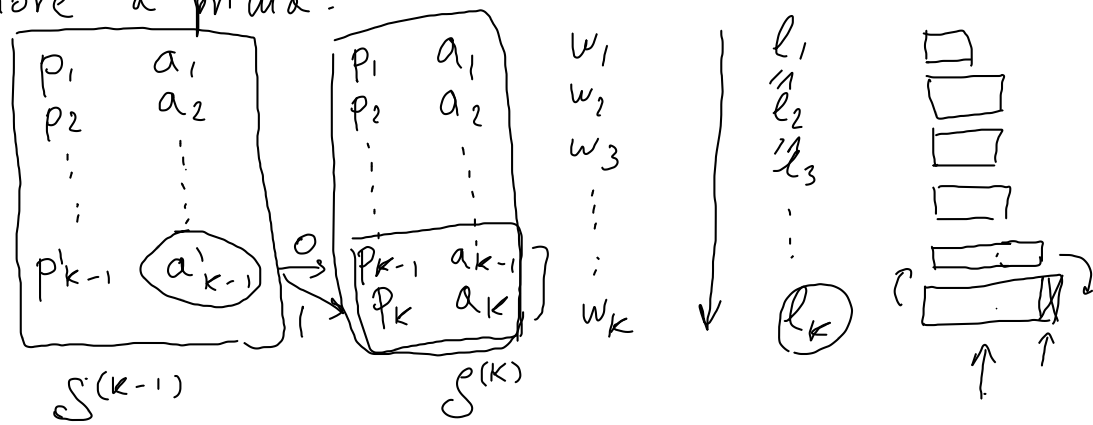
si potrebbe elidere l'ultimo di w_k , senza violare la proprietà del prefisso.

Ma il codice sarebbe a lunghezza attesa inferiore a prima.

Quindi esiste w_{k-1} con $|w_{k-1}| = |w_k|$.

Costruisco una sorgente "ridotta" $S^{(k-1)}$

aggregando i due simboli a_k e a_{k-1} di probabilità minima.



Potrei ottenere un codice a prefisso per $S^{(k)}$

partendo da un codice a prefisso per $S^{(k-1)}$;



Sia w'_{k-1} la parola di codice per a'_{k-1} ; ottengo $w_{k-1} = w'_{k-1} \cdot 0$, $w_k = w'_{k-1} \cdot 1$

$\begin{array}{c} 01010 \\ 01011 \cdot 0 \\ \hline 00011 \end{array}$

w'_{k-1}

Teorema 5.1. Se il codice a prefisso $C^{(k-1)}$ è ottimo per la sorgente ridotta $S^{(k-1)}$, allora il codice $C^{(k)}$ descritto come sopra è ottimo per la sorgente $S^{(k)}$.

Dim. Se il codice a prefisso $C^{(k-1)}$ è ottimo per $S^{(k-1)}$

$$R(C^{(k)}) = \mathbb{E}[L(S^{(k)})] = \sum_{i=1}^k p_i l_i = \sum_{i=1}^{k-2} p_i l_i + (p_{k-1} l_{k-1}) + (p_k l_k)$$

\nearrow

$$= \sum_{i=1}^{k-2} p_i l_i + p'_{k-1} \cdot (l'_{k-1} + 1)$$

$$= \underbrace{\sum_{i=1}^{k-2} p_i l_i + p'_{k-1} l'_{k-1}}_{\mathbb{E}[L(S^{(k-1)})]} + p'_{k-1}$$

$$\mathbb{E}[L(S^{(k-1)})]$$

$$R(C^{(k-1)})$$

$$l_{k-1} = l_k$$

$$= \sum_{i=1}^{k-2} p_i l_i + (\underbrace{p_{k-1} + p_k}_{p'_{k-1}}) \underbrace{l_k}_{\substack{\text{prob. del simbolo} \\ \text{aggregato}}}$$

\uparrow non dipende da come scelgo il codice $C^{(k-1)}$

\Rightarrow minimizzare $R(C^{(k)})$ è equivalente
a " " $R(C^{(k-1)})$

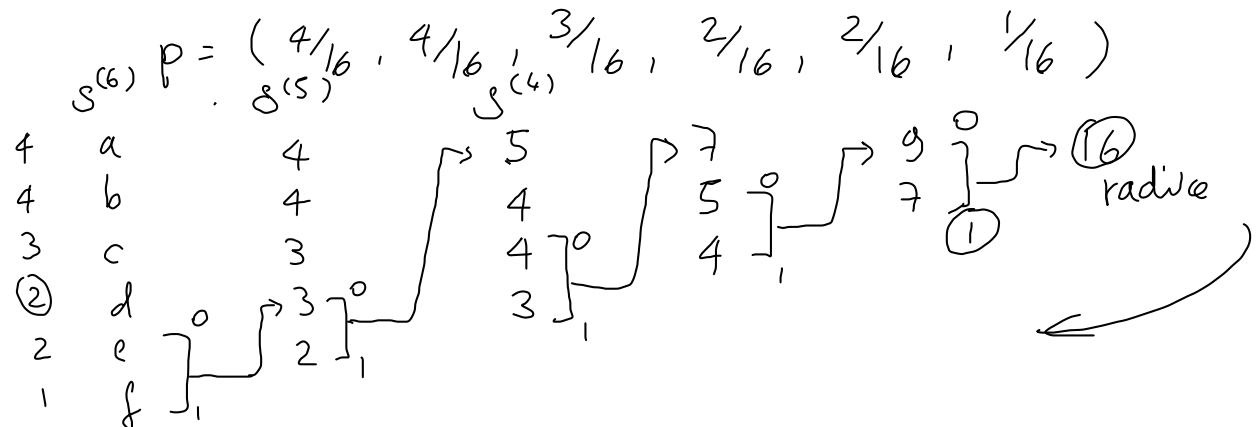
Algoritmo di Huffman, (caso binario)

- Ordina i simboli per probabilità non crescenti
- Accoppa i 2 simboli meno probabili
- Trova ricorsivamente un codice (ottimo) per $S^{(k-1)}$
- Estendi il codice $S^{(k-1)}$ apponendo '0'/'1' per distinguere i simboli a_{k-1} e a_k alla parola di codice per il simbolo aggregato.

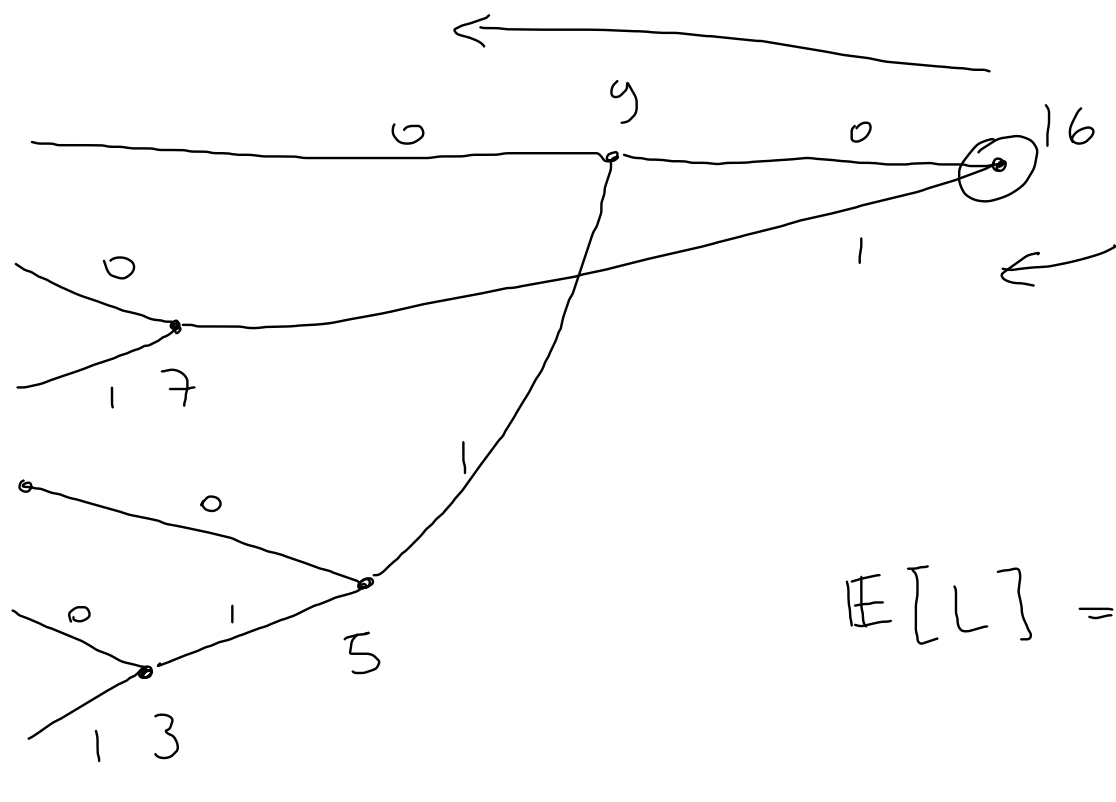
(La codifica di Huffman è ottima nella classe dei codici u.d. :

$$R(C^{\text{Huff}}) \leq R(C) \quad \forall C \text{ u.d.}$$

Esempio. $A = \{a, b, c, d, e, f\}$



00 a 4
10 b 4
11 c 3
010 d 2
0110 e 2
0111 f 1



$$\mathbb{E}[L] = 40/16$$